

We are determined the scalar field of damping in magnetic circuit of turbogenerator ahead the time. By accumulation of statistical data it will prevent to let reliability estimate by means of cumulative model of failures.

Keywords: scalar field, damping, magnetic circuit, turbogenerator, reliability.

УДК 629.7.05

Ю. А. ПЛАКСІЙ, канд. техн. наук, доцент, НТУ «ХПІ»

СТЕПЕНЕВІ АЛГОРИТМИ ВИЗНАЧЕННЯ КВАТЕРНІОНІВ ОРІЄНТАЦІЇ ТА ЇХ ІНТЕРПОЛЯЦІЙНОЇ МОДИФІКАЦІЇ

На основе разложения частного решения кинематического уравнения в кватернионах в ряд по степеням кажущихся поворотов получены степенные алгоритмы определения ориентации и их интерполяционные модификации. Показано, что учет динамики вращения твердого тела в алгоритмах приводит к повышению точности определения ориентации.

Ключевые слова: кватернион, ориентация, бесплатформенная инерциальная система

Вступ і постановка задачі. До алгоритмів визначення орієнтації в бесплатформених інерціальних навігаційних системах (БИНС) пред'являються жорсткі вимоги по точності визначення параметрів орієнтації і завантаженню автономного обчислювача на такті. Це обумовлено тим, що алгоритм визначення орієнтації в БИНС математично відтворює інерціальну систему координат, тобто виступає в ролі «аналітичної платформи».

Для визначення поточної орієнтації триедра зв'язаних осей відносно інерціального триедра осей в БИНС в автономному обчислювачі на кожному такті $[t_{n-1}, t_n]$ реалізується алгоритм визначення кватерніонів орієнтації, який використовує первинну інформацію про обертання твердого тіла на такті у вигляді приростів інтегралів від проекцій вектора абсолютної кутової швидкості тіла $\vec{\omega}$ на зв'язані осі (позірні повороти) [1]:

$$\theta_{n,i}^* = \int_{t_{n-1}}^{t_n} \omega_i dt, \quad i = 1, 2, 3. \quad (1)$$

Повна орієнтація при цьому обчислюється за формулою додавання поворотів

$$A_n^* = A_{n-1}^* \circ \Delta A_n^*, \quad (2)$$

де $A_n^* = A^*(t_n)$, $A_{n-1}^* = A^*(t_{n-1})$ – обчислені кватерніони орієнтації в момен-

© Ю. А. Плаксій, 2013

ти часу t_n та t_{n-1} відповідно, $\Delta A_n^* = \Delta A(\theta_n^*)$ – алгоритм визначення повороту (прийняте наближення до частинного розв’язку кінематичного рівняння $\dot{A} = 0,5 A \circ \vec{\omega}$ з початковою умовою $A(0) = (1,0,0,0)^T$), \circ – знак кватерніонного множення.

Існуючі алгоритми визначення повороту базуються на формальних розкладеннях частинного розв’язку ΔA_n в ряд по степенях кінцевих різниць «назад» вектора позірного повороту $\vec{\theta}_n^* = (\theta_{n1}^*, \theta_{n2}^*, \theta_{n3}^*)^T$ [1]. При цьому не враховується той факт, що $\vec{\omega}$ є розв’язком відповідних динамічних рівнянь.

В роботі [2] отримане розкладення 5-го порядку частинного розв’язку ΔA_n в ряд по степенях позірних поворотів (1) у вигляді:

$$\Delta \lambda_0 = 1 - \frac{1}{8} \theta^{*2} + \frac{1}{384} \theta^{*4} + O(\theta^{*5}); \quad (3)$$

$$\begin{aligned} \Delta \lambda_1 = & \frac{1}{2} \theta_1^* \left(1 - \frac{1}{24} \theta^{*2} - \frac{1}{12} b_1 \right) - \frac{1}{24} \eta_1 + \frac{1}{3840} \theta_1^* \theta^{*4} + \frac{1}{1440} \theta_1^* (a_1 b_1 (a_2 \theta_3^{*2} + \\ & + a_3 \theta_2^{*2}) + a_2 b_2 \theta_3^{*2} - a_3 b_3 \theta_2^{*2}) + \frac{1}{720} a_2 a_3 b_1 \theta_1^{*3} + \frac{1}{480} \theta_1^* (a_2 b_3 \theta_3^{*2} - a_3 b_2 \theta_2^{*2}) + \\ & + \frac{1}{960} b_1 \theta_1^* \theta^{*2} + \frac{1}{1440} (b_2 \mu_2 \theta_3^* - b_3 \mu_3 \theta_2^* + \theta_1^* (a_3 \mu_2^2 - a_2 \mu_3^2) + a_1 (a_2 \mu_2 \theta_3^{*2} - \\ & - a_3 \mu_3 \theta_2^{*2})) + \frac{1}{960} \eta_1 \theta^{*2} + \frac{1}{720} a_1 \rho_1 \theta_2^* \theta_3^* + \frac{1}{480} (\mu_1 \rho_1 - a_1 \gamma_1 - a_2 a_3 \eta_1 - \theta_1^* (\mu_2^2 + \\ & + \mu_3^2)) + \frac{1}{360} \mu_1 ((a_2 + a_3) \theta_1^* \theta_2^* \theta_3^* - \gamma_1) - \frac{1}{240} \theta_1^{*2} (a_2 \mu_2 \theta_3^* + a_3 \mu_3 \theta_2^*) + O(\theta^{*6}), \\ & (1,2,3), \end{aligned} \quad (4)$$

де $\theta^{*2} = \theta_1^{*2} + \theta_2^{*2} + \theta_3^{*2}$; $a_1 = (I_2 - I_3)/I_1$, (1,2,3); I_1, I_2, I_3 – моменти інерції твердого тіла ($I_1 \geq I_2 \geq I_3$); $m_1 = M_1/I_1$, (1,2,3) – проекції приведеного вектора головного моменту \vec{M} на зв’язані осі; $b_1 = a_2 \theta_3^{*2} - a_3 \theta_2^{*2}$, (1,2,3); $\eta_1 = \mu_2 \theta_3^* - \mu_3 \theta_2^*$, (1,2,3); $\gamma_1 = a_2 \mu_3 \theta_3^* - a_3 \mu_2 \theta_2^*$, (1,2,3); $\rho_1 = \mu_2 \theta_2^* + \mu_3 \theta_3^*$, (1,2,3); (1,2,3) – символ кругової перестановки індексів.

Необхідно на основі розкладення (3), (4) побудувати алгоритми визначення повороту, що використовують тільки степені першої різниці вектора позірного повороту, і отримати їх інтерполяційні модифікації.

Степеневі алгоритми визначення повороту і їх інтерполяційні модифікації. В умовах, коли на такті $[t_{n-1}, t_n]$ з’йому первинної інформації (1) приведені моменти m_i можна вважати постійними $m_i = m_i(t_{n-1})$ та обмеженими за величиною $|m_i| = O(\omega^2)$, $i = 1,2,3$, де $\omega = \max_{t \in [t_{n-1}, t_n]} |\vec{\omega}(t)|$, з розкладень (3),

(4) можна отримати алгоритми визначення кватерніона повороту $\Delta\lambda_n^* = (\Delta\lambda_{n0}^*, \Delta\lambda_{n1}^*, \Delta\lambda_{n2}^*, \Delta\lambda_{n3}^*)^T$ різного порядку. Такі алгоритми називемо степеневими, бо вони використовують тільки першу різницю вектора позірного повороту у вигляді (1). Алгоритми першого та другого порядку співпадають з різницевими алгоритмами, отриманими в [1].

Степеневий алгоритм визначення повороту третього порядку (САВП3) має вигляд:

$$\Delta\lambda_{n0}^* = 1 - \frac{1}{8}\theta_n^{*2}; \quad (5)$$

$$\Delta\lambda_{n1}^* = \frac{1}{2}\theta_{n1}^*(1 - \frac{1}{24}\theta_n^{*2} - \frac{1}{12}b_1) - \frac{1}{24}\eta_1, \quad (1,2,3), \quad (6)$$

де $\theta_n^{*2} = \theta_{n1}^{*2} + \theta_{n2}^{*2} + \theta_{n3}^{*2}$; $b_1 = a_2\theta_{n3}^{*2} - a_3\theta_{n2}^{*2}$, (1,2,3); $\eta_1 = \mu_2\theta_{n3}^* - \mu_3\theta_{n2}^*$, (1,2,3) і позначено $\mu_i = m_i(\Delta t)^2$, $i = 1,2,3$. Зазначимо, що $\mu_i = O(\theta_0^2)$, де $\theta_0^2 = \theta_{01}^2 + \theta_{02}^2 + \theta_{03}^2$, $\bar{\theta}_0 = (\theta_{01}, \theta_{02}, \theta_{03})^T$ – вектор лінійного повороту [2], $\theta_{0i} = \omega_{i0} \cdot \Delta t$, ω_{i0} , $i = 1,2,3$ – компоненти вектора $\bar{\theta}_0 = \bar{\omega}(t_{n-1})$.

Степеневий алгоритм визначення повороту четвертого порядку (САВП4) задається формулами:

$$\Delta\lambda_{n0}^* = 1 - \frac{1}{8}\theta_n^{*2} + \frac{1}{384}\theta_n^{*4}; \quad (7)$$

$$\Delta\lambda_{n1}^* = \frac{1}{2}\theta_{n1}^*(1 - \frac{1}{24}\theta_n^{*2} - \frac{1}{12}b_1) - \frac{1}{24}\eta_1, \quad (1,2,3), \quad (8)$$

тобто різницею від алгоритму САВП3 тільки доданком $\frac{1}{384}\theta_n^{*4}$ в скалярній частині кватерніона визначення повороту. Вплив динаміки обертання твердого тіла на орієнтацію визначається наявністю членів в векторній частині кватерніона визначення повороту в алгоритмах третього та четвертого порядку, які залежать від значень приведених моментів m_i на такті з'йому первинної інформації (1) і динамічних коефіцієнтів a_i .

У випадку вільного руху твердого тіла ($m_i = 0$, $i = 1,2,3$) алгоритми визначення повороту (5), (6) та (7), (8) набувають більш простого вигляду. Так, для степеневого алгоритму третього порядку (САВПВОЗ) маємо:

$$\Delta\lambda_{n0}^* = 1 - \frac{1}{8}\theta_n^{*2}; \quad (9)$$

$$\Delta\lambda_{n1}^* = \frac{1}{2}\theta_{n1}^*(1 - \frac{1}{24}\theta_n^{*2} - \frac{1}{12}(a_2\theta_{n3}^{*2} - a_3\theta_{n2}^{*2})), \quad (1,2,3). \quad (10)$$

Відповідні формули для алгоритму четвертого порядку (САВПВО4) для випадку вільного обертання твердого тіла мають вигляд:

$$\Delta\lambda_{n0}^* = 1 - \frac{1}{8}\theta_n^{*2} + \frac{1}{384}\theta_n^{*4}; \quad (11)$$

$$\Delta\lambda_{n1}^* = \frac{1}{2}\theta_{n1}^*(1 - \frac{1}{24}\theta_n^{*2} - \frac{1}{12}(a_2\theta_{n3}^{*2} - a_3\theta_{n2}^{*2})), \quad (1,2,3). \quad (12)$$

Формули (6), (8), (10), (12) містять приведені моменти m_i і динамічні коефіцієнти a_i , які на практиці, звичайно, відомі з деякою похибкою. Це може вносити додаткову складову в загальну похибку визначення орієнтації. Таким чином у приведеному вигляді алгоритми САВП3, САВП4, САВПВО3, САВПВО4 не можна безпосередньо застосувати в автономному обчислювачі для визначення кватерніона повороту. Наведені алгоритми мають, насамперед, методологічне значення, бо констатують наявний зв'язок кінематичних параметрів з динамікою обертання твердого тіла.

Для отримання розрахункових алгоритмів визначення повороту на основі розкладення (3), (4) використаємо отриманий в [2] зв'язок між проекціями вектора лінійного повороту $\vec{\theta}_0 = (\theta_{01}, \theta_{02}, \theta_{03})^T$ і проекціями вектора позірного повороту $\vec{\theta}_n^* = (\theta_{n1}^*, \theta_{n2}^*, \theta_{n3}^*)^T$ у вигляді:

$$\begin{aligned} \theta_{01} = \theta_{n1}^* - \frac{1}{2}(a_1\theta_{n2}^*\theta_{n3}^* + \mu_1) + \frac{1}{12}a_1(\theta_{n1}^*(a_2\theta_{n3}^{*2} + a_3\theta_{n2}^{*2}) + (a_2\theta_{n3}^* + a_3\theta_{n2}^*)) - \\ - \frac{1}{24}a_1(\theta_{n1}^*(a_2a_3\theta_{n1}^*\theta_{n2}^*\theta_{n3}^* + a_2\mu_3\theta_{n3}^* + a_3\mu_2\theta_{n2}^*) + \mu_2\mu_3) + O(\theta_n^{*5}), \quad (1,2,3). \end{aligned} \quad (13)$$

Оскільки $\mu_i = O(\theta_n^{*2})$, то з (13) можна виразити μ_i через компоненти векторів позірного та лінійного поворотів:

$$\mu_i = 2\theta_{n1}^* - 2\theta_{01} - a_1\theta_{n2}^*\theta_{n3}^*, \quad (1,2,3). \quad (14)$$

Виключимо μ_i в виразах для векторної частини кватерніона повороту САВП3 і САВП4, при цьому автоматично виключається також динамічні коефіцієнти a_i . Отримаємо в результаті нескладних перетворень, що

$$\Delta\vec{\lambda}_n^* = \frac{1}{2}\vec{\theta}_n^*(1 - \frac{1}{24}\theta_n^{*2}) + \frac{1}{12}(\vec{\theta}_0 \times \vec{\theta}_n^*). \quad (15)$$

На основі формули (15) можна отримати цілу низку алгоритмів визначення кватерніона повороту, якщо представити вектор лінійного повороту $\vec{\theta}_0$ на такті $[t_{n-1}, t_n]$ в функції первинної інформації виду (1) на такті $[t_{n-1}, t_n]$, з передніх тактів, а також у випадку, коли точками з'йому позірних поворотів є внутрішні точки такту $[t_{n-1}, t_n]$. Очевидно, щоб порядок точності таких апроксимаційних алгоритмів відповідав порядку точності алгоритмів САВП3, САВП4, треба при апроксимації $\vec{\theta}_0$ забезпечити відповідний порядок по $\vec{\theta}_n^*$.

Якщо представити $\vec{\theta}_0$ як середньоарифметичне позірних поворотів на сусідніх тактах $[t_{n-2}, t_{n-1}]$ і $[t_{n-1}, t_n]$, тобто

$$\vec{\theta}_0 = (\vec{\theta}_{n-1}^* + \vec{\theta}_n^*)/2, \quad (16)$$

то підстановка цього наближення в (15) приводить до відомого різницевого алгоритму третього порядку, який приведений в [1]:

$$\Delta \lambda_{n0}^* = 1 - \frac{1}{8} \theta_n^{*2}; \quad (17)$$

$$\Delta \bar{\lambda}_n^* = \frac{1}{2} \bar{\theta}_n^* \left(1 - \frac{1}{24} \theta_n^{*2} \right) + \frac{1}{24} (\bar{\theta}_{n-1}^* \times \bar{\theta}_n^*). \quad (18)$$

Застосуємо для визначення $\bar{\theta}_0$ квадратичну інтерполяцію для $\bar{\theta}_n^*$ на та-кіті $[t_{n-1}, t_n]$ в умовах $\bar{\theta}_n^*(t_{n-1}) = 0$:

$$\bar{\theta}_n^* = \bar{a} \tau^2 + \bar{b} \tau, \quad \tau \in [0, \Delta t], \quad (19)$$

що відповідає вектору кутової швидкості на такті $[t_{n-1}, t_n]$ у вигляді

$$\bar{\omega} = 2\bar{a}\tau + \bar{b}, \quad \tau \in [0, \Delta t],$$

де $\bar{\omega}_0 = \bar{b}$.

Для визначення $\bar{\theta}_0 = \bar{\omega}_0 \Delta t$ розглянемо дві точки з'йому первинної інформації: $t_n = t_{n-1} + \Delta t$ та деяку внутрішню точку такту $t_{n-1+p} = t_{n-1} + p\Delta t$, $p \in (0,1)$ і позначимо відповідні позірні повороти як $\bar{\theta}_n^*$ та $\bar{\theta}_{n-1+p}^*$, тобто $\bar{\theta}_n^* = \bar{a}(\Delta t)^2 + \bar{b}\Delta t$, $\bar{\theta}_{n-1+p}^* = \bar{a}(p\Delta t)^2 + \bar{b}(p\Delta t)$. В результаті розв'язання системи лінійних рівнянь відносно \bar{a} та \bar{b} отримаємо, що:

$$\bar{\theta}_0 = \frac{\bar{\theta}_{n-1+p}^* - p^2 \bar{\theta}_n^*}{p(1-p)}, \quad p \in (0,1). \quad (20)$$

Задамо $p = 0,5$, що відповідає внутрішній точці з'йому посередині такту, тобто $t_{n-1/2} = t_{n-1} + 0,5\Delta t$. В цьому випадку з (20) маємо наступну апроксимацію для вектора лінійного повороту:

$$\bar{\theta}_0 = 4\bar{\theta}_{n-1/2}^* - \bar{\theta}_n^*. \quad (21)$$

Підстановка $\bar{\theta}_0$ (21) в формулу (15) дає для векторної частини кватерніона повороту наступний вираз:

$$\Delta \bar{\lambda}_n^* = \frac{1}{2} \bar{\theta}_n^* \left(1 - \frac{1}{24} \theta_n^{*2} \right) + \frac{1}{3} (\bar{\theta}_{n-1/2}^* \times \bar{\theta}_n^*). \quad (22)$$

Таким чином, для двох точок з'йому позірних поворотів маємо інтерполяційний алгоритм визначення повороту 3-го порядку (АВП3i2) у вигляді:

$$\Delta \lambda_{n0}^* = 1 - \frac{1}{8} \theta_n^{*2}; \quad (23)$$

$$\Delta \bar{\lambda}_n^* = \frac{1}{2} \bar{\theta}_n^* \left(1 - \frac{1}{24} \theta_n^{*2} \right) + \frac{1}{3} (\bar{\theta}_{n-1/2}^* \times \bar{\theta}_n^*). \quad (24)$$

Відповідний алгоритм визначення повороту 4-го порядку (АВП4i2) за-пишеться так:

$$\Delta \lambda_{n0}^* = 1 - \frac{1}{8} \theta_n^{*2} + \frac{1}{384} \theta_n^{*4}; \quad (25)$$

$$\Delta \vec{\lambda}_n^* = \frac{1}{2} \vec{\theta}_n^* \left(1 - \frac{1}{24} \theta_n^{*2} \right) + \frac{1}{3} (\vec{\theta}_{n-1/2}^* \times \vec{\theta}_n^*). \quad (26)$$

Застосуємо кубічну інтерполяцію для $\vec{\theta}_n^*$ на такті $[t_{n-1}, t_n]$ в умовах $\vec{\theta}_n^*(t_{n-1}) = 0$:

$$\vec{\theta}_n^* = \vec{a} \tau^3 + \vec{b} \tau^2 + \vec{c} \tau, \quad \tau \in [0, \Delta t]. \quad (27)$$

Для вектора кутової швидкості маємо представлення:

$$\vec{\omega} = 3\vec{a} \tau^2 + 2\vec{b} \tau + \vec{c}, \quad \tau \in [0, \Delta t],$$

де $\vec{\omega}_0 = \vec{c}$.

Для визначення $\vec{\theta}_0$ використаємо три точки з'йому первинної інформації: точку $t_n = t_{n-1} + \Delta t$ та дві внутрішні точки такту $t_{n-1+p} = t_{n-1} + p\Delta t$ та $t_{n-1+m} = t_{n-1} + m\Delta t$, $p \in (0,1)$, $m \in (0,1)$, $p \neq m$. Відповідні позірні повороти позначимо як $\vec{\theta}_n^*$, $\vec{\theta}_{n-1+p}^*$ та $\vec{\theta}_{n-1+m}^*$. Після розв'язання системи лінійних рівнянь відносно \vec{a} , \vec{b} та \vec{c} отримаємо, що:

$$\vec{\theta}_0 = \frac{p^2 m^2 (p-m) \vec{\theta}_n^* + m^2 (m-1) \vec{\theta}_{n-1+p}^* + p^2 (1-p) \vec{\theta}_{n-1+m}^*}{pm(p-m)(1-p-m+pm)}, \quad (28)$$

де $p \in (0,1)$, $m \in (0,1)$, $p \neq m$.

Задамо $p = 1/3$; $m = 2/3$, тобто виберемо внутрішні точки з'йому t_{n-1+p} , t_{n-1+m} так, що $t_n - t_{n-1+m} = t_{n-1+p} - t_{n-1} = 1/3 \Delta t$. За таких умов з (28) маємо:

$$\vec{\theta}_0 = -(9/2) \vec{\theta}_{n-2/3}^* + 9 \vec{\theta}_{n-1/3}^* + \vec{\theta}_n^*, \quad (29)$$

де позначено $\vec{\theta}_{n-2/3}^* = \vec{\theta}^*(t_{n-2/3})$, $t_{n-2/3} = t_{n-1} + 1/3 \Delta t$, $\vec{\theta}_{n-1/3}^* = \vec{\theta}^*(t_{n-1/3})$, $t_{n-1/3} = t_{n-1} + 2/3 \Delta t$.

Підстановка (29) в (15) дає:

$$\Delta \vec{\lambda}_n^* = \frac{1}{2} \vec{\theta}_n^* \left(1 - \frac{1}{24} \theta_n^{*2} \right) + \frac{3}{8} (2\vec{\theta}_{n-2/3}^* - \vec{\theta}_{n-1/3}^*) \times \vec{\theta}_n^*.$$

Отже, для трьох точок з'йому позірних поворотів t_n , $t_{n-2/3}$, $t_{n-1/3}$ маємо інтерполяційний алгоритм визначення повороту 3-го порядку (АВП3i3) у вигляді:

$$\Delta \lambda_{n0}^* = 1 - \frac{1}{8} \theta_n^{*2}; \quad (30)$$

$$\Delta \vec{\lambda}_n^* = \frac{1}{2} \vec{\theta}_n^* \left(1 - \frac{1}{24} \theta_n^{*2} \right) + \frac{3}{8} (2\vec{\theta}_{n-2/3}^* - \vec{\theta}_{n-1/3}^*) \times \vec{\theta}_n^*. \quad (31)$$

Відповідний алгоритм визначення повороту 4-го порядку (АВП4i3) за-дається формулами:

$$\Delta\lambda_{n0}^* = 1 - \frac{1}{8}\theta_n^{*2} + \frac{1}{384}\theta_n^{*4}; \quad (32)$$

$$\Delta\vec{\lambda}_n^* = \frac{1}{2}\vec{\theta}_n^*(1 - \frac{1}{24}\theta_n^{*2}) + \frac{3}{8}(2\vec{\theta}_{n-2/3}^* - \vec{\theta}_{n-1/3}^*) \times \vec{\theta}_n^*. \quad (33)$$

Відзначимо, що на відміну від різницевих алгоритмів визначення повороту, наведених в [1], інтерполяційні алгоритми АВП3i2, АВП4i2, АВП3i3, АВП4i3 використовують позірні повороти у внутрішніх точках такту $[t_{n-1}, t_n]$ і не потребують «розгонки».

Чисельний експеримент. Для отримання оцінок методичних похибок розроблених інтерполяційних алгоритмів визначення повороту АВП3i2, АВП4i2, АВП3i3, АВП4i3 застосуємо аналітичну еталонну модель регулярної прецесії [3], що включає в себе аналітичні вирази для позірних поворотів:

$$\theta_{ni}^* = \theta_i(t_n) - \theta_i(t_{n-1}), \quad i = 1, 2, 3, \quad (34)$$

де $\theta_1(t) = 2a \sin \alpha_1 \cos(\alpha_1 + \psi) / k$, $\theta_2(t) = -2a \sin \alpha_1 \sin(\alpha_1 + \psi) / k$, $\theta_3(t) = \omega_3(0) \cdot t$, яким відповідає точний кватерніон орієнтації $A(t)$ з компонентами:

$$\begin{aligned} \lambda_0(t) &= \cos \alpha_1 \cos \alpha_2 - r \sin \alpha_1 \sin \alpha_2; \\ \lambda_1(t) &= a \sin \alpha_2 \cos(\alpha_1 + \psi) / \nu; \\ \lambda_2(t) &= -a \sin \alpha_2 \sin(\alpha_1 + \psi) / \nu; \\ \lambda_3(t) &= \sin \alpha_1 \cos \alpha_2 + r \cos \alpha_1 \sin \alpha_2, \end{aligned} \quad (35)$$

де позначено: $a = (\omega_1^2(0) + \omega_2^2(0))^{1/2}$, $k = (1 - \xi_2)\omega_3(0)$, $\xi_2 = I_3/I_1$, $\cos \psi = \omega_1(0)/a$, $\sin \psi = -\omega_2(0)/a$, $\nu = (a^2 + \xi_2^2\omega_3^2(0))^{1/2}$, $r = \xi_2\omega_3(0)/\nu$, $\alpha_1 = 0,5kt$, $\alpha_2 = 0,5\nu t$.

В якості похибки алгоритмів будемо розглядати похибку дрейфу [1], яка, на відміну від похибки норми кватерніона орієнтації A_n^* , є неусувною.

На рис. 1 показана отримана за допомогою еталонної моделі регулярної прецесії (34), (35), реалізованої на інтервалі часу $t \in [0; 2000]$ с з тaktом $\Delta t = 0,1$ с при $\xi_2 = 12/35$ і початкових умовах $\vec{\omega}(0) = (0,012; -0,011; 0,015)$ рад/с, $A(0) = (1,0,0,0)^T$ оцінка похибки дрейфу для алгоритму визначення повороту (17), (18), який має третій порядок точності і позначений тут як АВПБШ3. На рис. 2 представлена оцінка похибки дрейфу для алгоритму АВП3i2 (23), (24). Отримано, що для вказаної еталонної моделі похибка дрейфу алгоритму АВП3i2 приблизно на два порядки менша, ніж для алгоритму АВПБШ3.

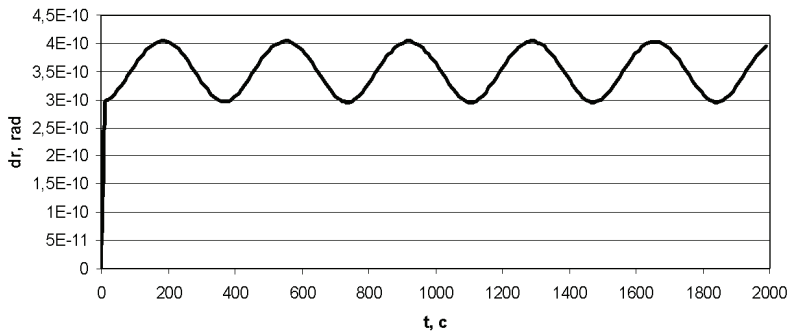


Рисунок 1 – Оцінка похибки дрейфу для алгоритму АВПБШ3

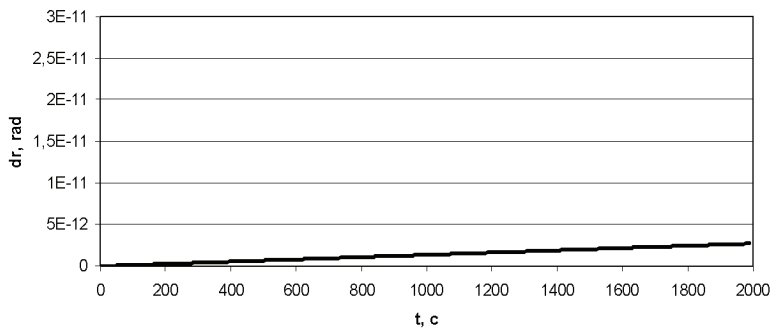


Рисунок 2 – Оцінка похибки дрейфу для алгоритму АВП3i2

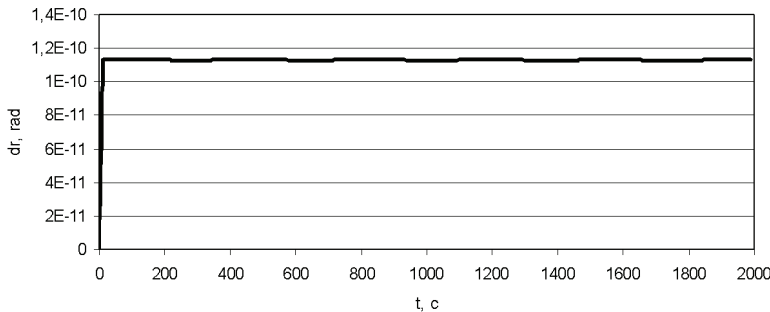


Рисунок 3 – Оцінка похибки дрейфу для алгоритму АВПБШ4

На рис. 3 представлена оцінка похибки дрейфу для алгоритму четвертого порядку, наведеного в [1], який позначимо як АВПБШ4. Оцінка похибки дрейфу для алгоритму АВП4i2 (25), (26) показана на рис. 4. Порівняння результатів дозволяє зробити висновок, що алгоритм АВП4i2 має значно меншу похибку дрейфу, ніж різницевий алгоритм АВПБШ4.

Похибки дрейфу для алгоритмів АВП3i3 (30), (31) і АВП4i3 (32), (33)

мають приблизно однакові значення (рис. 5), вони гірші, ніж для алгоритмів АВП3i2 і АВП4i2, але кращі, ніж для алгоритмів АВПБШ3 і АВПБШ4.

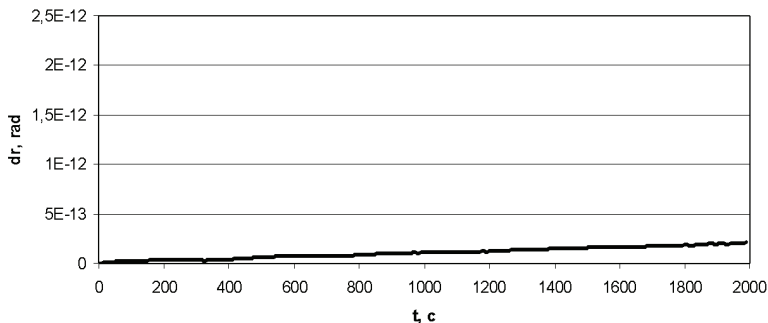


Рисунок 4 – Оцінка похибки дрейфу для алгоритму АВП4i2

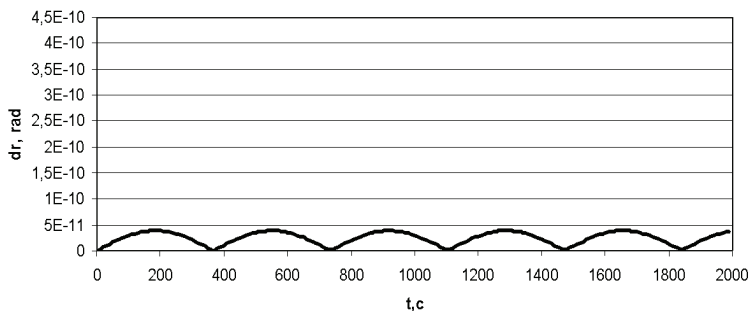


Рисунок 5 – Оцінка похибки дрейфу для алгоритмів АВП3i3 і АВП4i3

Висновки. На основі отриманого в [2] розкладення 5-го порядку частинного розв’язку кінематичного рівняння в кватерніонах в степеневий ряд в термінах першої різниці вектора позірного повороту (1) одержані алгоритми третього та четвертого порядку, векторна частина кватерніона повороту яких явно залежить від динамічних коефіцієнтів a_i і приведених моментів m_i . Для степеневих алгоритмів побудовані їх інтерполяційні модифікації, що не містять динамічні коефіцієнти і приведені моменти. Це можливо за рахунок використання інформації про позірні повороти, що зняті у внутрішніх точках такту $[t_{n-1}, t_n]$. На еталонній моделі регулярної процесії показано, що інтерполяційні модифікації степеневих алгоритмів мають підвищенні точносні характеристики у порівнянні з відомими різницевими алгоритмами.

Список літератури: 1. Бранец В.Н. Применение кватернионов в задачах ориентации твердого тела / В.Н.Бранец, И.П.Шмыглевский. – М.: Наука, 1973. – 320 с. 2. Плаксий Ю.А. Разложение 5-го порядка частного решения кинематического уравнения в кватернионах в ряд по степеням кажущихся поворотов / Ю.А.Плаксий // Вісник НТУ «ХПІ». – 2009. – № 42.– С. 137–141. 3. Плаксий Ю.А. Аналитические оценки точности алгоритмов определения ориентации в кватернионах

УДК 629.7.05

Степеневі алгоритми визначення кватерніонів орієнтації та їх інтерполяційні модифікації / ІО. А. Плаксій // Вісник НТУ «ХПІ». Серія: Динаміка і міцність машин. – Х.: НТУ «ХПІ», 2013. – № 58 (1031). – С. 168-177. – Бібліогр.: 3 назв.

На основі розкладення частинного розв'язку кінематичного рівняння в кватерніонах в ряд по степенях позірних поворотів отримані степеневі алгоритми визначення орієнтації та їх інтерполяційні модифікації. Показано, що врахування динаміки обертання твердого тіла в алгоритмах приводить до підвищення точності визначення орієнтації.

Ключові слова: кватерніон, орієнтація, безплатформена інерціальна навігаційна система

The orientation algorithms , based on the decomposition of the particular solution of the quaternion kinematic equation in the degree series of seeming turns, and their interpolation modifications are received. It is shown that the considering of a rigid body dynamics in algorithms gives orientation definitions to accuracy increase.

Keywords: quaternion, orientation, strapdown inertial navigation system

УДК 539.3

І. В. ФАУСТ, аспирант, НТУ «ХПІ»;

К.В.АВРАМОВ, д-р техн. наук, вед. науч. сотр., ИПМаш НАН Украины, Харьков

ПРИМЕНЕНИЕ МЕТОДА КАРУНЕНА-ЛОЭВА ДЛЯ ИЗВЛЕЧЕНИЯ МОД КОЛЕБАНИЙ АРОЧНЫХ КОНСТРУКЦИЙ ПРИ ИХ ГЕОМЕТРИЧЕСКИ НЕЛИНЕЙНОМ ДЕФОРМИРОВАНИИ

Применен метод Карунена-Лоева к исследованию колебаний арочных конструкций при их нелинейном деформировании.

Ключевые слова: метод Карунена-Лоева, колебания, арочные конструкция.

1 Введение. Пологие конструкции используются в различных отраслях техники. Например, они применяются в электромеханическом оборудовании для переключения режимов работы оборудования. Арочные конструкции используются для изоляции и гашения колебаний [1, 2].

Метод ортогональной декомпозиции был разработан независимо в раз-

© И. В. Фауст, К. В. Аврамов, , 2013